

SiO₂로서 凝結效果에 關한 研究

金 義 圭 *

The Effect of Coagulation by SiO₂

Byung Kyu, Kim*

* Dept. Chemical Engineering, Sung Kyun Kwan University

Generally, SiO₂ were disliked in natural water suspension solutions and various methods of its exclusion have been investigated in industrial fields.

In colloid science, SiO₂ of the nascent state in water solution is well known as a hydrophilic inorganic sol, and also has negative charge in weak acid, neutral solution and alkali solution. Clay and arsenic trisulfide particles in water solution have the properties of negative charge and hydrophobic sol. In the above cases, the suspension expects to appear phenomena of the sensitization with mutual action according to control the concentration of hydrophilic sol on hydrophobic sol in the disperse system.

In this experiment, it was investigated that the effect of coagulation by this sensitization of As₂S₃ and clay with SiO₂ were calculated by using C₆₀ radioactive isotope method, and moreover, in its coagulation state observed by electromicroscope.

The coagulation effects of the sensitization of SiO₂ sol against clay suspension were much weaker than the electrolytes in industrial water or natural water comparing the action of coagulation of electrolyte (Al₂(SO₄)₃) with non-electrolyte (SiO₂), and the effect of coagulation by SiO₂ concluded in this research to be caused by only van der Waals' forces and not Coulomb's forces.

I. 序 論

凝結剤을 電解質 添加에 따르는 凝結 現象에 對하여는 Schulz¹⁾, Hardy²⁾ 및 여타 사람들의 低分子 物質에 關한 研究^{3~15)}와 Rhurwein^{16~17)}等의 高分子 物質에 對한 論文이 있다. 이들은 말한 바 凝結의 原因을 Coulomb force에 基因하는 荷電中和로 究明하였는데, 이에 反하여 非ion 性의 非電解質 凝結剤의 凝結 現象을 究明하려는 움직임은 Overbelk, Verwey¹⁸⁾가 처음으로 van der Waals' force로 適用한데서 始作한

다. 그 後 Needham¹⁹⁾은 水溶性 濃粉을 石炭懸濁液(粘土包含)에, 그리고 井口²⁰⁾는 Argin 酸 soda (水中에 서 負 ion 荷電)를 赤血球(電位가 負)에, 白木²¹⁾는 石灰와 白雲石(水中負荷電), 且 大山²²⁾는 kaoline, 石英等에 argin 酸 soda를 凝結剤로 使用하여 凝結 效果는 큰 效果가 없다하더라도 凝結 現象의 對象으로서는 充分히 參酌할 수 있음을 言及하였다. 그리고 水溶性 重縮合物의 重合度와 凝結沈降의 影響에 關해서는 野田²³⁾의 研究가 있다. 따라서 本 實驗에서는 高分子物質을 凝結剤로 研究하여 오던 것을 準高分子物

* 成均館 大學校 理工大學 化學工學科

質²⁴⁾로 대체 함으로써 水溶液 懸濁 分散質의 試料를 工業用水 및 飲料水의 源泉인 天然水 中에 懸濁의 主原因이 되는 粘土(水中에서 負荷電²⁵⁾)를 擇하였다. 그러나 粘土 自體는 六角形板狀形^{26), 27)}의 不規則한 物質인 바 이것만으로 負荷電의 同符號 凝結現象을 論할 수 없음으로 比較的 規則의이며 模樣이 球形狀態이며 水溶液 中에서 負荷電²⁸⁾인 As_2S_3 膠質을 比較基準으로 取하였다. 또一方 自然水中에 많이 包含 되어있는 硅酸(SiO_3)은 水中에서 負荷電²⁹⁾을 띠며 親水性³⁰⁾이고 더욱 粘着力이 強한 性質³¹⁾을 가지며 接着劑³²⁻³³⁾로 使用되고 있다. 그러나 硅酸의 濃度가 高진하면 懸濁物의 保護作用으로沈降을 停滯시킬 뿐만 아니라 例로서 蒸氣罐 속에 scale의 形成 및 turbine等의 運轉能率을 低下 시키는 等의 惡影響³⁴⁻³⁵⁾을 미치는 關係로 現在 까지의 自然水中의 硅酸에 對하여서는 그 除去³⁶⁻³⁸⁾에만 注力하고 있는 故로 增減作用³⁹⁾에 對한 凝結現象을 van der Waals' force로 解明코자 하는 報文은 아직 없다. 이런 點에 留意하여 粘土 및 As_2S_3 懸濁水溶液中에 凝結剤로 SiO_2 를 添加하여 同一符號 荷電의 非 ion 性 物質間의 凝結效果를 現在 널리 凝結剤로 使用되고 있는 ion 性 電解質 $Al_2(SO_4)_3$ ⁴⁰⁾을 擇하여 工業的 價値 與否를 兩者 比較 檢討하였다.

II. 實驗

1. 試料의 調製

[A] 三硫化砒素 (As_2S_3)의 調製

As_2S_3 의 調製는 Schulz⁴¹⁾方法에 따라 饱和且 亞砒酸溶液을 鹽酸으로 다루어 微酸性亞砒酸水溶液을 만들고 여기에 硫化水素 gas를 通하여 As_2S_3 를 만들었다. As_2S_3 膠質은 水溶液에서 負荷荷電하기 때문에 H^+ ion이 必要 以上 많을 때 分散系가 放電하여 安定度를喪失하게 된다. 따라서 鹽酸의濃度를 調節⁴²⁾하였으며 硫化水素의 過量은 酸化되어 硫黃으로 析出하기 때문에 여기에 水素를 通하여 遊離시켰다. 더욱 그 帶電 關係는 Burton 電氣泳動裝置로 確認하였다. 또 As_2S_3 의 溶解度⁴³⁾는 5×10^{-5} part/ 10^2 part 이기 때문에 比色計에 미치는 影響은 이를 無視하고 Dubosque colorimeter로 調節하여 101mg/l로 하였다.

[B] 粘土試料

粘土는 人家에서 멀리 떨어진 成均館大學校 第一科學館 北쪽 瑞山中턱에서 地表로부터 2~3cm 깊이에서 採取하여 magnetic stirrer로攪拌한 다음 繼續 4~5日間을 蒸溜水로 물위에 뜨는 浮遊物을 傾瀉分離法으로 除

去한 다음 H_2O_2 ⁴⁴⁾로 有機物을 分解 除去하였다. 不純物을 除去한 試料를 乾燥시킨 다음 中央工業研究所 烹業科에 委嘱 粉碎하여 그 粒度는 325mesh (0.044m/m) 以下로 館分 分離하였다. 이 粉碎된 粘土 試料 2g을 1l 蒸溜水에 添加하여 分散剤를 使用하지 않고 6日間 放置하여 重力에 依하여沈降되는 部分은 傾瀉法으로 가려서 分散된 部分만을 取하여 그 濃度를 39 mg/l로 Dubosque colorimeter로 調節하였다.

[C] SiO_2 의 製法 및 精製

SiO_2 sol 調製는 從來 Baylis⁴⁵⁾方法을 改良 하여 $xNa_2O \cdot SiO_2 \cdot nH_2O$ (water-glass) + 2HCl⁴⁶⁾ $\rightarrow ySiO_2 + 2x NaCl + H_2O$ 을 擇하였다. 本來 凝結에 그리 影響을 미치지 않는 鹽酸⁴⁷⁾을 SiO_2 調製에 使用하였으며 water glass ($Na_2O 21.1\% SiO_2 36.2\% (wt)$)를 (SiO_2 의 生成率을 上記方程式에 依據 100%로 看做하여) SiO_2 12.1 mg/l 濃度가 되게끔 簡便하게 稀釋하였다. 그 理由는 本人 實驗⁴⁸⁾에 依한 凝結 作用에 適應시키기 為한 點도 있지만 SiO_2 自身이 PH=7附近에서 gel化⁴⁹⁾가 이루어지기 쉬움으로 water glass의濃度를 稀薄하게 調節하여 이 點을 防止하기 為한 點도 있다. 이 製造方法에서 無色의 SiO_2 sol이 生成되는에 反應의 完結點을 指示藥과 SiO_2 의 吸着 關係로 methyl orange를 使用하였다. 또 生成되는 SiO_2 의 活性⁵⁰⁾을 주기 為하여 PH=5.5를 鹽酸으로 (PH meter: Beckman model B를 使用하여) 調節한 다음 日製 直徑 1.15cm cellophane膜을 約 6cm 높이로 칠라 紗로 매어 最大許容電流 0.3~0.8mA⁵¹⁾透析膜 cm², 使用電壓 100V로 rectifier의 電流가 零을 이를 때까지 約 2~3日間 蒸溜水를 繼續 보내면서 電氣透析法으로 精製하였다.

2. 測定方法

凝結 및沈降現象을 實驗的으로 究明하기 為하여서는 從前에 써 오던 spectro-photo-meter⁵²⁾, Nephelo photo-meter⁵³⁾, Tyndall photo-meter⁵⁴⁾ 等의 光學的 方法以外에 近來의 傾向은 放射性物質의 應用이 試圖되고 있는 形便이다. 이를테면 Gemat⁵⁵⁾는 放射性 tridecan 酸加里, myristin 酸과 MgO, myristin 酸加里를 變壓器油 分散媒 속에서 G·M tube를 使用하여 電氣泳動度를 測定하였고, McGee⁵⁶⁾는 Co^{60} 溶液을 媒介 測定 物質로 써 分散質粒子沈降을 先導하였으며, Magnee⁵⁷⁾는 粘土에 Ra를 吸着시켜 γ 線으로 放射能을 測定하고 있다. 따라서 本 實驗에서 分散懸濁物과 凝結剤(SiO_2)中 하나를 tagging 시켜 放射能測定이 可能하면 界面現象의 複雜性을 免하여 便利하겠으나 粘土는 化合物이 아닌 點, 또 다른 試料는 化合物이지만 그 tagging 方法도 容易

하지 않을뿐 더러 tagging 시켰다고假定하여도各元素들의半減期가짧아最少限一週日이要하는이實驗에는適應시키기 어렵다. 따라서 tracer法을利用하여分散質粒子에放射能을吸着시켜그粒子의沈降을比較放射能으로測定하는方法을擇하였다. 放射能의線源으로흔이그性質이잘알려져있으며손쉽게얻을수있고또그半減期가길어核崩壊의計算誤差因子를可能한限無視할수있는放射性同位元素Co⁶⁰(COCl₂溶液半減期5.3年佛蘭西Commissariery, al energie atomique 1967, 3. 21製造)를擇하였다. Co⁶⁰은γ線의線源으로1.17Mev, 1.33Mev의두種類外에0.314Mevβ線도있으나β線은γ線에比하여飛程이짧아線源及그附近에서熱로變하니까β線의存在는考慮치않았다. 더욱計數測定에는分解時間이나計數効率이G.M管보다優秀하며더욱電壓取扱이安全한scintillation detector(P20C型)와SC72 Versa/Matic V scaler를兼用하였다. γ線의特性으로Co⁶⁰가1m, 1curie範圍內에서

$$I = 5.46 \times 10^2 \times \frac{1}{x^2} (1.17 + 1.33)$$

I 는線量mr/hr, x 는detector에서測定cell까지의거리로, 計數管窓의半徑이1.1cm인故로均一치못한

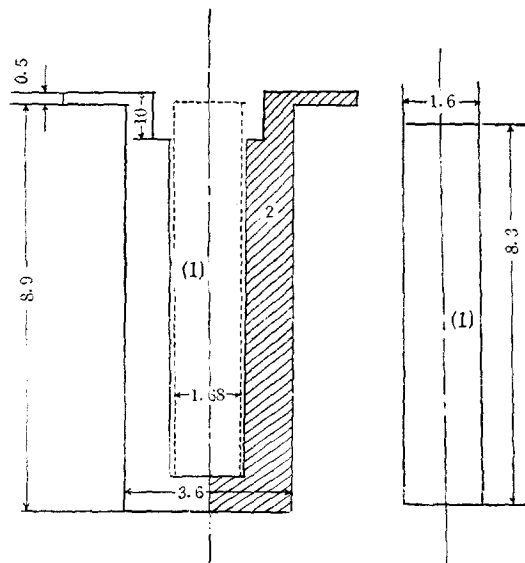


Fig. 1. 1: Detecting cell
2: Cell-supporter unit c/m

試料를測定할때의計數測定誤差를5%以內로하기爲하여0.5cm로定하고試料cell의半徑은0.8cm로Fig. 1과같이自作設計하였다.

또detector에나타나는計數率를 R 이라고하면

$$R = Df_X \cdot f_S \cdot f_C \cdot f_T \cdot f_S \cdot f_B \cdot f_H \cdot f_A \cdot f_W + R_\beta + R_B$$

D :核種의壞變速度

f_B :後方散亂補正係數

f_S :放出係數

f_H :外部物體에서의散亂係數

f_C :幾何係數

f_A :空氣散亂係數

f_T :同時計數補正係數

f_W :Detector窓과空氣의吸收係數

f_β :自己吸收補正係數

R_β :같은核種β線의back-ground

ground

R_B :Back-ground

이式에서β線의存在는Co⁶⁰가測定試料인故로 R_β 는無視할수있으며더욱이系를粒子에吸收된點線源으로보아 f_C 以外의因子는같은Fig. 2, 3과같은條件에서實驗하니까恒數로看做할수있다고生覺하여 $R = k \cdot f_C + R_B$

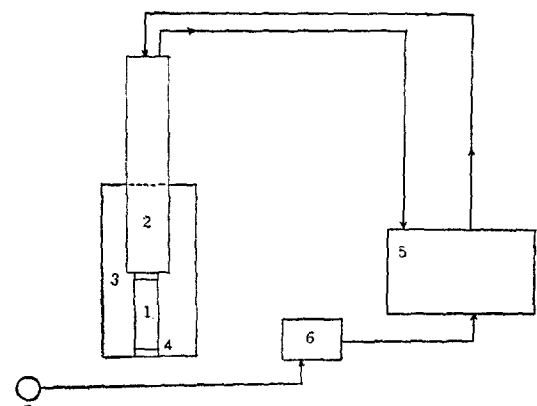


Fig. 2. 1: Detecting cell
2: Scintillation-detector
3: Lead shield
4: Cell-supporter
5: Scaler
6: Transformer
7: Power supply

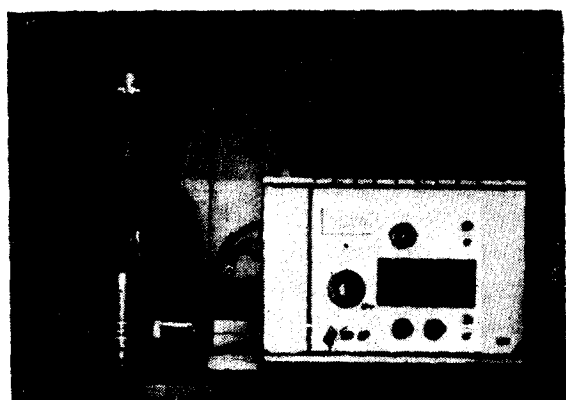


Fig. 3. Scintillation counter V scaler

但 R_B 도 같은 조건에서 실험 하니까 $R_B = C$ 라고 놓으면前述은 $R = k f_C + C$ 가 된다.

따라서 R 는 f_C 의 함수로 본다. 특히 점상 선원으로 입자의沈降現象을 生覺할 때

$$f_C = \frac{1}{2} \left\{ 1 - \frac{h}{\sqrt{r^2 + h^2}} \right\}$$

r 는 测定用 cell의 半徑, 따라서 恒數라고 보고 h 는 圓筒形 表面에서의 點源의 깊이(거리)니까 이 경우에는 吸收된 分散質粒子의沈降에 따르는 變化로서 變數가 된다. 한편 测定用으로 使用되는 同位元素를 現在 알려져 있는 採取方法으로 取하였을 때 採取量誤差로 나타나는 計數의 誤差는 顯著함으로 다른 系의 比較를 止揚하고 더욱 같은 系에서도 그 絶對值을 表示함은 精密치 못함을 認知하고 點상線源이 時間에 따라 變化하는 cpm 值을 絶對單位로 表示함을 辭讓하고 算出計數의 全般的인 誤差를 防止하기 为하여 relative cpm 值을 表示하였다.

$$\text{即}, R_r = \frac{R_a}{R_i}$$

R_r : Relative cpm 值

R_a : 任意狀態에서의 試料의 cpm 值

R_i : 그 試料 测定始初의 cpm 值

그런데 R_i 的 值는 試料作成後 그 當日의 cpm 的 值이며 試料에 따라多少 作成當日의 测定時間 間隔이 다르다. R_i 值는 試料當日에 1分에서 10分까지 timer를 連結하여 나오는 値을 1分當으로 算出한 値의 算出平均이며 統計學上으로 그 頻度를 보아

$$\bar{M} + \sigma > \bar{M} > \bar{M} - \sigma$$

\bar{M} : 算術平均值 σ : 標準偏差

에서 68% 가 됨을 參照하여 이를 指하였다. 또 任意試料의 cpm 值는 放射性 同位元素 Co^{60} 은 半減期가 5.3年이며 더욱 製造가 今年 3月이니까 그 核崩壊誤差를 計算하는 것이 原則이다. 허나 각 實驗은 大體로 約 1週日 內外를 所要하였고, 더욱 他試料와의 定量的인 比較가 아닌 故로 이 誤差 計算은 無視하였다. 더욱 dpm (disintegration per minute) 와 cpm (counter per minute)의 比率도 scintillation detector의 計數率과 核崩壊率로서 機器의 性能을 보기 为하여 测定하였지만 表記하지 않았다.

原子核 自體의 壊變現象이 random 하니까 따라서 實驗으로 얻은 計數值은 本質的으로 誤差를 包含한다.

$$R' = R + \sqrt{\sigma_r^2} = R + \sqrt{R}$$

R' : 核壞變現象에 따르는 期待計數率 [cpm]

R : 测定器에 나타난 計數率 [cpm]

σ_r : 偏差

이 點을 參照하여 每日 1分부터 10分間의 cpm を 测定하여 되도록 誤差를 防止하였다.

이 實驗에서 試料採取量은 勿論 使用한 测定用 cell에 適合하게 取함은 必然의이지만 Co^{60} 100 μ 는 scintillation detector 計數 자리表 4 자리가 나오는 最少限의 量을 取하였다. 더욱 Co^{60} 的 添加는 採取量 誤差를 되도록 防止하기 为하여 前記와 같이 調製된 試料 即 分散質과 凝結劑 98.75cc에 Co^{60} 1.25cc를 添加하여 100cc로 稀釋하였다. 以下 實驗結果에서 試料와 함은 試料 8cc當 10^{-3} mc 單位의 Co^{60} 100 μ 가 包含되어 있음을 付記 한다.

III. 實驗結果

以上과 같은 여러 가지 點을 참고로 우선 scintillation detector의 使用適合電壓을 얻기 为하여 電壓變化에 따르는 工 넓은 cpm 的 變動의 領域을 蒸溜水 6cc에 Co溶液 10^{-3} mc 2cc의 試料로 Fig. 4와 表 1과 같이 調節하여 1400 volt 가 가장 適合함을 알았다.

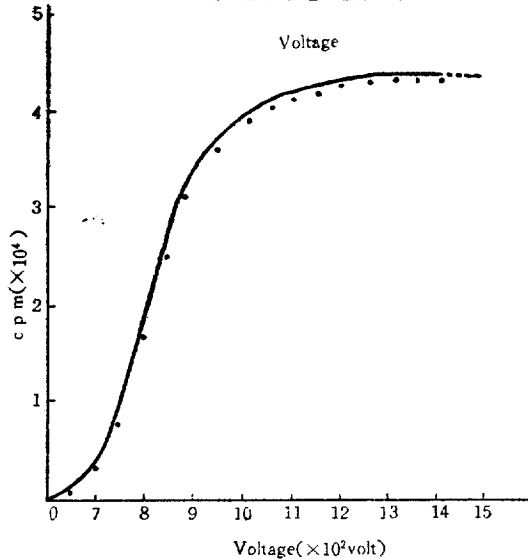


Fig. 4. Voltage control
cpm ($\times 10^4$) Voltage ($\times 10^2$ Volt)

또 分散質과 Co^{60} 과의 界面現象中沈降現象與否를 觀察하기 为하여 調製된 分散質 試料 As_2S_3 및 粘土懸濁液 8cc 中 Co^{60} 100 μ 比率로 Fig. 5, 6, 및 表 2, 3과 같이 6日間의 cpm を 测定하여 實存上으로 거의沈降現象이 일어나지 않음을 確認하였다.

兼해서 이 實驗에 SiO_2 도 같은 要領으로 SiO_2 溶液에 Co^{60} 을 添加하여 表 4 와 Fig. 7 과 같은 結果로沈降이 일어나지 않음을 알았다.

上記와 같은 實驗要領으로 이 比較 實驗에서 凝結劑로 使用되는 $\text{Al}_2(\text{SO}_4)_3$ 에 對해서도 Fig. 8, 表 5와

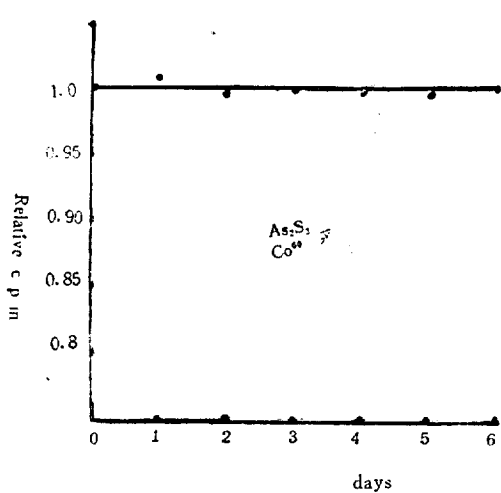


Fig. 5. Relative cpm (days)

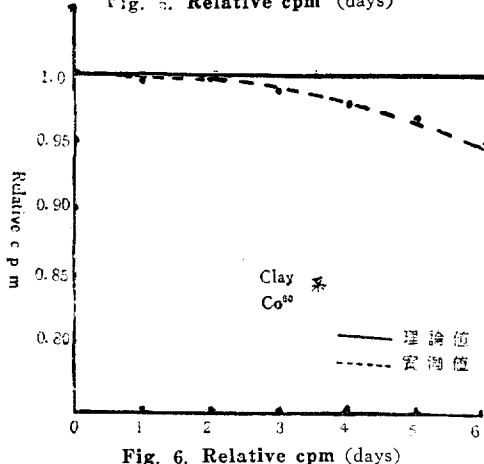


Fig. 6. Relative cpm (days)

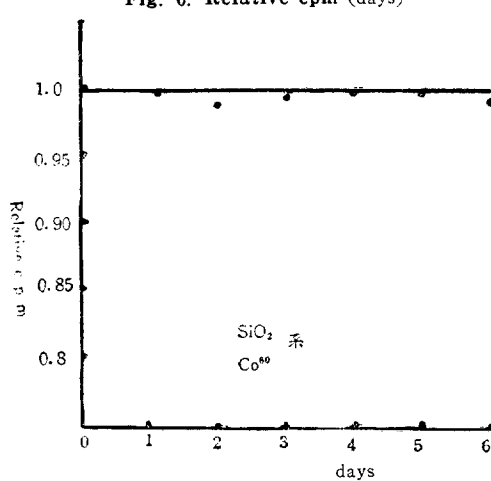


Fig. 7. Relative cpm (days)

같이試料即凝結剤8cc中에 Co^{60} 100 μ 率로 cpm值을測定한結果 그界面에서沈降現象이 일어나지않음을 알수있었다.

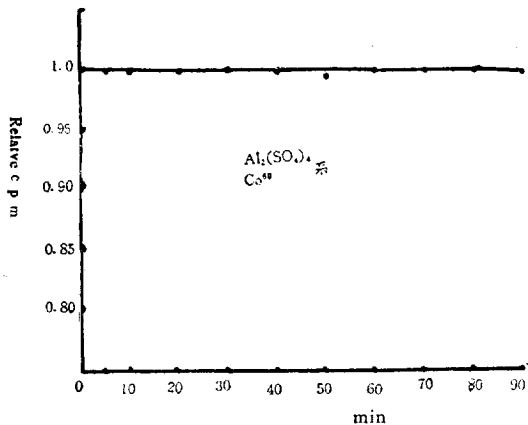


Fig. 8. Relative cpm (min)

비록時間에 따라 cpm값이(이實驗에서는減少)變化한다 하더라도 반드시粒子가點狀線源으로沈降한다고는斷定할 수 없다. 때로는分散質 또는凝結剤가放射能을吸收하였다고도 볼 수 있다.故로沈降現象은이實驗에서使用되는範圍의界面現象은本人豫備實驗^{58, 59)}으로沈降現象이일어남을 미리 알고 있었다. 따라서工業的으로 널리使用되는凝結剤 $\text{Al}_2(\text{SO}_4)_3$ 를分散質에섞어 Fig. 9, 10, 表 6, 7과 같은典型的인沈降現象을測定하였다.

이實驗에서는凝結速度가 매우빠르기 때문에 10分間隔으로 cpm值을測定하였고試料作成後五分後부터 cpm值을測定하였다.

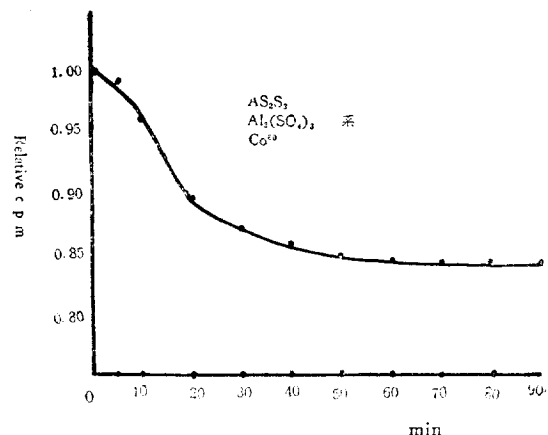


Fig. 9. Relative cpm (min)

이實驗에서本題旨인凝結剤 SiO_2 sol의凝結效果를보기爲하여比較的均一하게分散하고 또界面現象을論함에 있어서便利한球形粒子의 As_2S_3 를分散質로擇하여이分散質7凝結剤1比率의凝結結果를Fig. 11, 表 8과같이所要期日6日程度를基準으로沈降에따르는 cpm값을測定하였다.

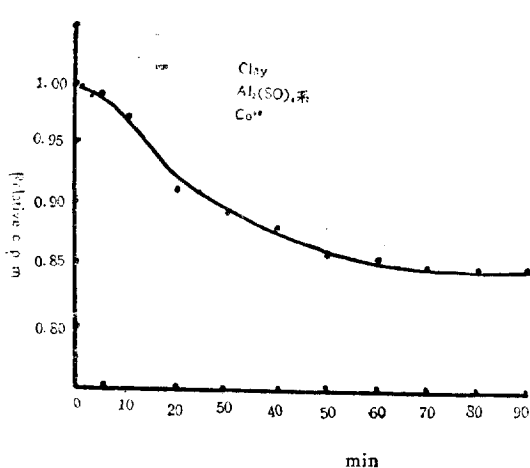


Fig. 10. Relative cpm (min)

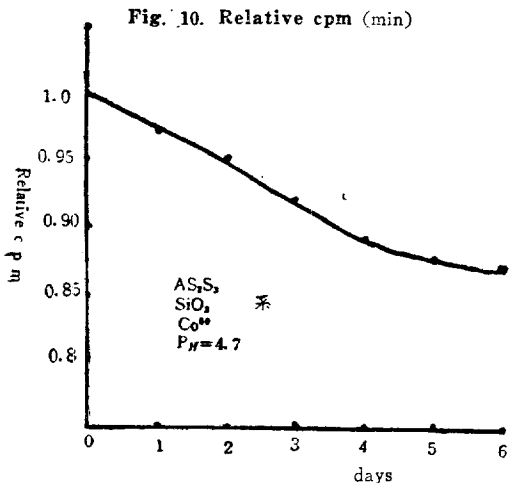


Fig. 11. Relative cpm (days)

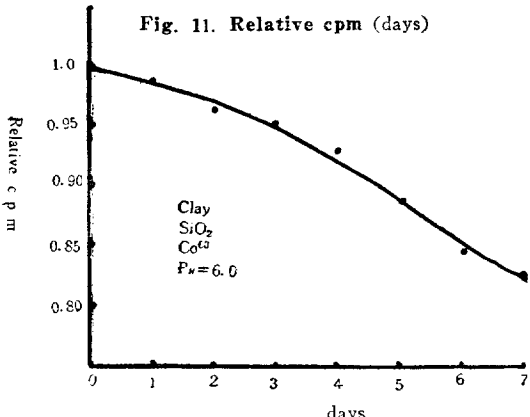


Fig. 12. Relative cpm (days)

이와 같은實驗으로負荷電分散質의沈降傾向을觀察한 다음自然水나工業用水에 혼히 섞이는粘土를分散質을擇하여兼해서 SiO_2 의工业的凝結効果를粘土試料 7에凝結剤 1比率의凝結効果를 Fig. 12, 表 9와 같이 cpm 값을測定하였다. 따라서 그凝結現象

이 일어남은 알 수 있으나,本人前實驗에比하여比較的精度가 높음을 알았다.

IV. Data

別表와같이各境遇의實際relative cpm値의表를表示하였지만 그數字로보와放射性同位元素核崩壊가一定치 못함을 알 수 있다. (但이表에서 M는算術平均值, S.D.는標準偏差를 말함).

表 1. 使用된 Voltage control

蒸溜水 6cc + Co^{60} 10^{-3}mc 2cc

| cpm voltage | 1回 | 2回 | 3回 | 4回 | M | S.D. |
|----------------|--------|--------|--------|--------|---------|------|
| 650 | 8 | 7 | 8 | 8 | 7.8 | 0.5 |
| 700 | 71 | 72 | 74 | 73 | 72.8 | 1 |
| 750 | 10,817 | 10,805 | 10,700 | 10,774 | 10,774 | 53 |
| 800 | 19,957 | 19,777 | 19,848 | 19,861 | 198,607 | 74 |
| 850 | 27,751 | 27,677 | 27,709 | 27,712 | 277,123 | 30 |
| 900 | 37,985 | 38,495 | 37,847 | 38,109 | 38,109 | 263 |
| 950 | 40,854 | 40,867 | 41,266 | 40,996 | 40995.7 | 191 |
| 1000 | 40,967 | 41,309 | 41,477 | 41,651 | 4135.1 | 292 |
| 1050 | 41,727 | 40,523 | 41,111 | 41,120 | 41120.2 | 492 |
| 1100 | 41,128 | 40,890 | 41,189 | 41,069 | 41,069 | 129 |
| 1150 | 41,681 | 41,496 | 41,789 | 41,665 | 41654.9 | 121 |
| 1200 | 41,669 | 42,294 | 41,928 | 41,964 | 4193.7 | 250 |
| 1250 | 42,888 | 42,607 | 42,562 | 42,686 | 42,688 | 94 |
| 1300 | 43,280 | 42,864 | 42,902 | 43,015 | 43,015 | 188 |
| 1350 | 43,067 | 43,162 | 43,430 | 43,220 | 43,220 | 154 |
| 1400 | 43,355 | 43,372 | 43,166 | 43,294 | 43,297 | 93 |

表 2. $\text{As}_2\text{S}_3 + \text{Co}^{60}$ $\text{As}_2\text{S}_3 = 101\text{mg/l}$ 7.9cc $\text{Co}^{60} = 10^{-3}\text{mc}$ 100 μ

| days time (min) | 1 cpm | 2 cpm | 3 cpm | 4 cpm | 5 cpm | 6 cpm |
|--------------------|----------|----------|----------|----------|----------|----------|
| 1 | 1000 | 995 | 994 | 1004 | 996 | 991 |
| 2 | 998 | 994 | 1000 | 997 | 994 | 998 |
| 3 | 1001 | 991 | 1003 | 1001 | 996 | 1000 |
| 4 | 985 | 991 | 1006 | 985 | 997 | 1004 |
| 5 | 984 | 994 | 1001 | 989 | 994 | 999 |
| 6 | 1000 | 1001 | 1000 | 1000.4 | 1001 | 998 |
| 7 | 999 | 994 | 991 | 999.5 | 1004 | 991 |
| 8 | 1129 | 1003 | 1001 | 1006 | 1003 | 1002 |
| 9 | 1010 | 997 | 1002 | 1009.9 | 997 | 995 |
| 10 | 999 | 1001 | 997 | 999 | 993 | 994 |
| M | 1011 | 996 | 999 | 999 | 993 | 997 |
| S.D. | 42 | 4 | 4 | 7 | 4 | 4 |

表 3. Clay + Co⁶⁰
cpm; Relative cpm ($\times 10^{-3}$) $\text{粘土} = 39\text{mg/l}$ 7.9cc
 $\text{Co}^{60} = 10^{-3}\text{mc}$ 100λ

| days R. cpm ($\times 10^{-3}$) | time(min) | | | | | |
|--|-----------|-----|-----|-----|-----|-----|
| | 1 | 2 | 3 | 4 | 5 | 6 |
| 1 | 987 | 987 | 965 | 994 | 988 | 989 |
| 2 | 989 | 984 | 983 | 992 | 969 | 898 |
| 3 | 995 | 985 | 994 | 987 | 968 | 961 |
| 4 | 1050 | 983 | 987 | 971 | 961 | 949 |
| 5 | 996 | 981 | 982 | 967 | 957 | 950 |
| 6 | 992 | 981 | 983 | 963 | 964 | 949 |
| 7 | 991 | 982 | 987 | 962 | 976 | 947 |
| 8 | 991 | 981 | 977 | 964 | 953 | 941 |
| 9 | 992 | 982 | 986 | 958 | 931 | 970 |
| 10 | 991 | 982 | 987 | 957 | 963 | 951 |
| M | 992 | 993 | 983 | 972 | 963 | 950 |
| S. D. | 4 | 2 | 8 | 15 | 15 | 18 |

表 5. Al₂(SO₄)₃ + Co⁶⁰
cpm: Relative cpm ($\times 10^{-3}$) $\text{Al}_2(\text{SO}_4)_3 = 10^{-4}\text{mol/l}$ 7.9cc
 $\text{Co}^{60} = 10^{-3}\text{mc}$ 100λ

| time(min) | R. cpm |
|-----------|--------|
| 5 | 1.00 |
| 10 | 998 |
| 20 | 999 |
| 30 | 1.00 |
| 40 | 997 |
| 50 | 992 |
| 60 | 996 |
| 70 | 998 |
| 80 | 999 |
| 90 | 995 |

表 6. As₂S₃ + Al₂(SO₄)₃ + Co⁶⁰

cpm: Relative cpm ($\times 10^{-3}$) $\text{As}_2\text{S}_3 = 101\text{mg/l}$ 6.95cc
 $\text{Al}_2(\text{SO}_4)_3 = 10^{-4} \text{ mol/l}$ 0.95cc
 $\text{Co}^{60} = 10^{-3}\text{mc}$ 100λ

| time(min) | R. cpm |
|-----------|--------|
| 5 | 992 |
| 10 | 960 |
| 20 | 892 |
| 30 | 872 |
| 40 | 859 |
| 50 | 848 |
| 60 | 846 |
| 70 | 843 |
| 80 | 841 |
| 90 | 841 |

表 4. SiO₂ + Co⁶⁰
cpm; Relative cpm ($\times 10^{-3}$) $\text{SiO}_2 = 12.1\text{mg/l}$ 7.9cc
 $\text{Co}^{60} = 10^{-3}\text{mc}$ 100λ

| Days R cpm $\times 10^{-3}$ | time(min) | | | | | |
|-----------------------------------|-----------|------|------|-----|-----|------|
| | 1 | 2 | 3 | 4 | 5 | 6 |
| 1 | 1020 | 1007 | 983 | 992 | 995 | 1009 |
| 2 | 1016 | 1021 | 986 | 993 | 998 | 1006 |
| 3 | 1016 | 1001 | 988 | 996 | 995 | 1000 |
| 4 | 1011 | 1006 | 991 | 992 | 991 | 997 |
| 5 | 1004 | 909 | 994 | 991 | 990 | 989 |
| 6 | 1010 | 987 | 986 | 995 | 998 | 981 |
| 7 | 1009 | 982 | 985 | 996 | 995 | 986 |
| 8 | 990 | 989 | 988 | 993 | 996 | 968 |
| 9 | 996 | 986 | 1006 | 993 | 995 | 983 |
| 10 | 1007 | 984 | 1007 | 997 | 980 | 981 |
| M | 1008 | 987 | 991 | 994 | 994 | 989 |
| S. D. | 9 | 31 | 8 | 2 | 2 | 15 |

表 7. Clay + Al₂(SO₄)₃ + Co⁶⁰

cpm: Relative cpm ($\times 10^{-3}$) $\text{Clay} = 39\text{mg/l}$ 6.95cc
 $\text{Al}_2(\text{SO}_4)_3 = 10^{-3}\text{mol/l}$ 0.95cc
 $\text{Co}^{60} = 10^{-3}\text{mc}$ 100λ

| time(min) | R. cpm |
|-----------|--------|
| 5 | 990 |
| 10 | 971 |
| 20 | 914 |
| 30 | 892 |
| 40 | 888 |
| 50 | 866 |
| 60 | 860 |
| 70 | 855 |
| 80 | 855 |
| 90 | 849 |

表 8. $\text{As}_2\text{S}_3 + \text{SiO}_2 + \text{Co}^{60}$
 $\text{As}_2\text{S}_3 = 101\text{mg/l}$ 의 6.95cc
 $\text{SiO}_2 = 12.1\text{mg/l}$ 的 0.95cc
 $\text{Co}^{60} = 10^{-3}\text{mc}$ 100λ
 $\text{pH} = 4.7$

| time(min) × days | 1 | 2 | 3 | 4 | 5 | 6 |
|---------------------|-----|-----|-----|-----|-----|-----|
| | cpm | cpm | cpm | cpm | cpm | cpm |
| 1 | 978 | 948 | 935 | 872 | 859 | 966 |
| 2 | 971 | 965 | 906 | 901 | 862 | 867 |
| 3 | 983 | 935 | 928 | 865 | 861 | 854 |
| 4 | 982 | 948 | 919 | 876 | 863 | 843 |
| 5 | 981 | 960 | 911 | 910 | 904 | 860 |
| 6 | 967 | 958 | 920 | 915 | 876 | 856 |
| 7 | 958 | 951 | 925 | 870 | 872 | 861 |
| 8 | 962 | 956 | 925 | 923 | 902 | 870 |
| 9 | 963 | 950 | 930 | 907 | 875 | 858 |
| 10 | 960 | 939 | 928 | 868 | 904 | 863 |
| M | 970 | 950 | 922 | 890 | 878 | 869 |
| S. D. | 10 | 9 | 9 | 11 | 19 | 8 |

表 9.

 $\text{Clay} + \text{SiO}_2 + \text{Co}^{60}$ $\text{pH}=6.0$

| R cpm × 10 ⁻³ time (min) | days | | 1 | 2 | 3 | 4 | 5 | 6 | 7 |
|--|------|-----|-----|-----|-----|-----|-----|-----|-----|
| | cpm | cpm | cpm | cpm | cpm | cpm | cpm | cpm | cpm |
| 1 | | | 978 | 975 | 941 | 927 | 895 | 856 | 820 |
| 2 | | | 982 | 969 | 942 | 901 | 869 | 842 | 831 |
| 3 | | | 991 | 950 | 930 | 925 | 895 | 841 | 815 |
| 4 | | | 988 | 951 | 961 | 945 | 871 | 836 | 826 |
| 5 | | | 994 | 966 | 955 | 923 | 874 | 841 | 833 |
| 6 | | | 986 | 967 | 963 | 913 | 888 | 861 | 829 |
| 7 | | | 991 | 951 | 962 | 949 | 891 | 860 | 822 |
| 8 | | | 982 | 969 | 960 | 934 | 871 | 844 | 832 |
| 9 | | | 991 | 972 | 959 | 926 | 895 | 855 | 816 |
| 10 | | | 985 | 967 | 952 | 924 | 891 | 842 | 834 |
| M | | | 986 | 963 | 952 | 926 | 884 | 847 | 825 |
| S. D. | | | 5 | 8 | 11 | 14 | 11 | 9 | 7 |

但: 數字는 小數 以下은 4捨 5入

不均一하게 分散하고 있으려 더욱 粘土 自體의 形態가
 앞에서 言及한 바와 같이 不規則한 六角形 板狀形임을
 보여 주고 있다. 따라서 Fig. 18은 凝結劑를 使用하지
 않은 自體들의 無秩序한 凝結現象을 보여 주며 Fig. 19

V. 電子顯微鏡의 追跡

凝結現象에 隨伴되는 cpm의 값은 測定하였지만 凝
 結로서 沈降되는 粒子의 模樣 및 狀態를 把握코자 Fig.
 13과 같이 As_2S_3 의 粒子模樣을 觀察하였으나 이 粒
 子는 球形狀態이며, 比較的 均一하게 分散하고 있음
 을 알 수 있으며, 또 Fig. 14와 같이 As_2S_3 에 凝結劑
 $\text{Al}_2(\text{SO}_4)_3$ 가 ion 狀態로 擴散되어 比較的 凝結이 均一
 的으로 始作됨을 볼 수 있었고 또 Fig. 15에서는 凝結
 된 粒子가 더욱 熟成된 粒子 끼리 모여 2次微粒子로 粒
 子가 더욱 崩離하여 形成됨을 알 수 있다. 여기서 本人은
 이와 같이 Coulomb force에 因한 荷電中和로 放
 電된 然後에는 van der Waals' force로서 粒子가 付着
 되는 것이 아닌가 본다. Fig. 16은 As_2S_3 에 SiO_2 를
 凝結劑로 作用시킨 境遇인데 Fig. 14, 15에 比하여
 無秩序한 것을 보아 SiO_2 sol이 水溶液 속에서 均一하
 게 擴散되어 있지 못하고 있음을 示唆하고 따라서
 SiO_2 存在 部所에 따라 局部的으로 凝結되기 始作하며
 SiO_2 가 粒子와 粒子 사이에 凝結役割을 하는 것이 아닌
 가 본다. 한편 Fig. 17은 粘土分散質의 水溶液 中에서

 $\text{Clay} = 39\text{mg/l}$ 의 6.95cc $\text{SiO}_2 = 12.1\text{mg/l}$ 的 0.95cc $\text{Co}^{60} = 10^{-3}\text{mc}$ 的 100λ $\text{pH}=6.0$

는 粘土分散質에 凝結劑 $\text{Al}_2(\text{SO}_4)_3$ 로 凝結이 始作되
 는 境遇이며, Fig. 20은 같은 系에서 凝結이 完成된 後
 의 模樣인데 이것은 Fig. 14, 15와 同一原因의 過程
 을 밟고 凝結이 進行되었음을 示唆하고 있다. Fig.

21은 粘土分散質에 SiO_2 로 凝結이 如作되는 境遇이며 Fig. 22는 같은系에서 凝結이 完成되는 模樣이며, 여기에 使用한 電子顯微鏡은 日本 日立製 HS-6 TYPE 이다.

IV. 結論

Spychalsky⁶⁰⁾에 依하면 SiO_2 는 $1/2$, 1 , $1\frac{1}{2}$, 2 , $2\frac{1}{2}$ 等의 H_2O 分子를 갖는다고 하는데 Herman Mayer⁶¹⁾는 이보다 더 많은 물分子가 一段水和物을 形成하는 달라 安定度가 크며⁶⁴⁾ 等電點 以下 alkali 性內에서는 負⁶⁵⁾로 帶電하고 pH=7 附近에서 gel 化⁶⁶⁾ 된다. 이와 같은 親水性 硅酸의 膠質임을 參照할 때 萬若 As_2S_3 나 粘土 같은 疏水性 物質의 懸濁分散質에 이들 親水性 膠質를 添加하면 SiO_2 一定濃度 限界 内에서 保

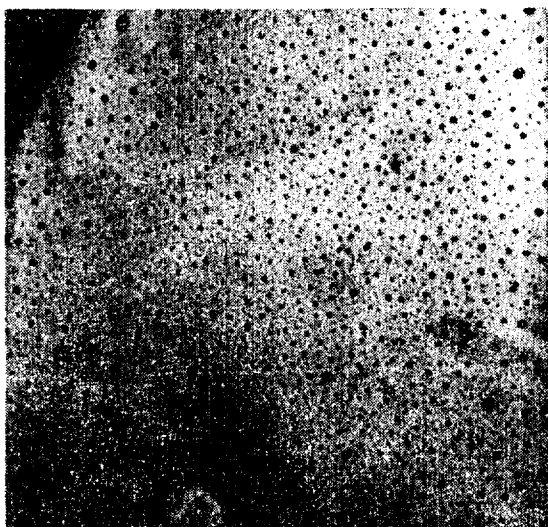


Fig. 13. As_2S_3 의 分散系의 寫眞(2.8×10^4 倍)



Fig. 14. As_2S_3 가 $\text{Al}_2(\text{SO}_4)_3$ 로 凝結이 始作 되는 경우(7×10^3 倍)

되 時間이 오래 경과하는 동안 個個의 水和物로 分離하는 것으로 解釋하고 있다. 한편 Staudinger⁶²⁾는 SiO_2 自體重合을 말하였고 Signer 및 Gross는 3個乃至 10個의 SiO_2 가 chain 을 形成함을 基本單位로 하여 線形重合과 三次元的 網狀構造⁶³⁾를 갖는다고 한다. 이 重合物의 等電點은 pH=2~3 程度로서 다른 物質의 等電點과는 달라 安定度가 크며⁶⁴⁾ 等電點 以下 alkali 性內에서는 負⁶⁵⁾로 帶電하고 pH=7 附近에서 gel 化⁶⁶⁾ 된다. 이와 같은 親水性 硅酸의 膠質임을 參照할 때 萬若 As_2S_3 나 粘土 같은 疏水性 物質의 懸濁分散質에 이들 親水性 膠質를 添加하면 SiO_2 一定濃度 限界 内에서 保

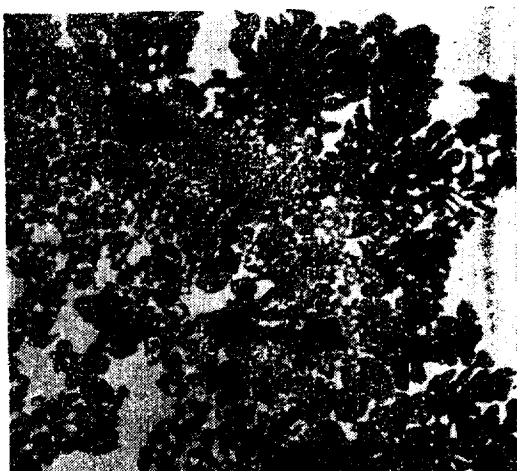


Fig. 15. As_2S_3 가 $\text{Al}(\text{S}_2\text{O}_4)_3$ 로 凝結이 完成된 後(7×10^3 倍)



Fig. 16. As_2S_3 가 SiO_2 로 凝結이 完成된 後(7×10^3 倍)

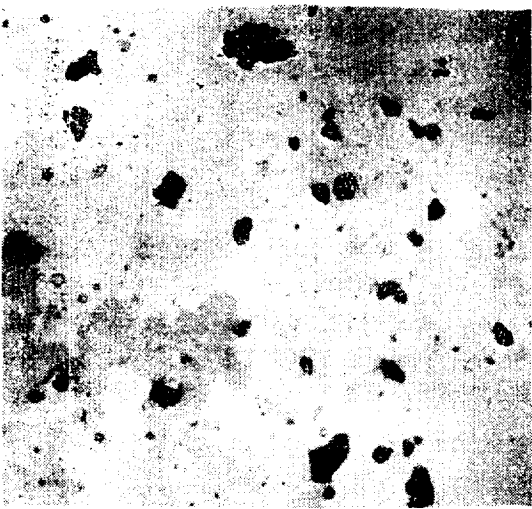


Fig. 17. 粘土分散系의 경우(7×10^3 倍)



Fig. 19. 粘土粒子가 $\text{Al}_2(\text{SO}_4)_3$ 로서 凝結이 始作되는 경우(7×10^3 倍)



Fig. 18. 粘土自體가 凝集되어 二次微粒子를 形成하는 경우(7×10^3 倍)



Fig. 20. 粘土粒子가 $\text{Al}_2(\text{SO}_4)_3$ 에 依하여 凝結이 完成된 後(7×10^4 倍)

護作用과 增感作用이 일어남은 必然의이지만 그濃度를 調節함으로서 增感作用에 依한 凝結現象을 Fig. 11, 12, 16, 21, 22로서 再確認할 수 있다. 然이나 分散質인 As_2S_3 , 粘土 또 凝結劑인 SiO_2 모두 非電解質의 非 ion 性物質들이前述한 바도 있지만 또 Coehn⁶⁷⁾이 말한 바와같이 分散媒 인들보다 透電恒數가 적으니까 負로 水中에서 같은 符號로 帶電하고 있음을 推測 할 수 있으므로, 이 分散系에서 凝結이 일어 나는 事實은 荷電中和說이 適用되지 못함은 더 밀할 나위 없다. 따라서 같은 符號의 物質 사이의 凝結 現象을 Needham⁶⁸⁾에 依하면 吸着에 따르는 接着 이라고 있고, 井口⁽⁶⁹⁾立花⁷⁰⁾는 吸着으로 因한 架橋現象이라고 보고 있으며

McCarty⁷¹⁾는 凝結劑 自體가 吸着하여 架橋하거나 그렇지 않으면 그 自體들이 直接 다리를 놓아 密接하게 接着하고 있는 것으로 말하고 있다. 本人은 SiO_2 自體가 親水性이 強함으로 分散系에서 分散質에 dehydratation 作用을 하여 그 安定度를 減少시키는 것인지 또는 相互 架橋 作用을 密接하게 付着시켜 凝結한 것인지 그 正確性을 論하기에는 매우 어려운 問題이지만 電子顯微鏡寫眞을 通하여 凝結狀態를 Fig. 16, 21, 22로 보면 各其 模樣은 다르지만 共通의으로 部分的으로 凝結된 粒子들이 二次의으로 다시 서로가 密接한 것을 보며 McCarty 說과 같이 凝結劑 SiO_2 本身도 다리



Fig. 21. 粘土가 SiO_2 로 凝結이 始作되는 경우(7×10^3 倍)



Fig. 22. 粘土가 SiO_2 로서 凝結이 完成된 後(7×10^3 倍)

를 놓고 또는 SiO_2 가 分散質과 凝結하여 큰 뎅어리로 되었다고 解釋할 수 있다. 더욱 電解質凝結剤境遇에서 後述의 過程과 같이 凝結된 粒子와 粒子相互間의 付着도 考慮 해야된다. 即上記한 여러 過程의 凝結의 原因은 이 境遇에 있어서는 始初부터 完成까지 van der Waals' force가 作用 하였다고 본다. 以上과 같은 解釋으로 보아 往往 無視되어 오던 이 種類의 힘은 凝結에 重要함을 再次 強調 한다.

끝으로 SiO_2 의 效果는 Fig. 11, 12에서와 같이 凝結은 일어나지만沈降速度로 보아 電解質添加 境遇보다 매우 弱하므로 工業的 效果에는 有用치 吳하나 凝結助劑로서는 考慮할 수 있음을 알았다.

VI. 文 獻

- 1) Schulze, J. Prakt. Chem. 25 (1882) 431
- 2) Hardy Proc. Roy. Soc., 66 (1899) 1100
J. Phys. Chem. 4 (1900) 235 Z. Physik. Chem., 33 (1900) 385
- 3) Freundlich, Kapillarchemie., II (Leipzig, 1932) 122
- 4) Freundlich, Z. Physik. Chem., 44 (1903) 151 "Kapillarchemie", II (Leipzig, 1932, 124
- 5) Whethame, Phil. Mag., [5] 48 (1893) 474
- 6) Schulze, J. Prakt. Chem. 25 (1882) 431
- 7) Linder and picton, J. Chem. Soc. 67 (1895) 63
- 8) Freundlich, Kolloid-Z., 1 (1907) 321
- 9) Zsigmondy, Z. Physik. Chem. 92(1918)600 Freundlich und Schulz. Kolloid Beihefte 16 (1922) 267.
篠崎孝平, Kolloid-Z. 79 (1926) 316
岩瀬榮一, 歓文日本化學會誌 4 (1929) 120
理化學研究所歐文報告 17 (1932) 68
重名潔, 大阪工業試驗所報告, 第12回 第2號(昭和6年).
富永齊, 佐々木萬夫 理化學研究所彙報, 12(昭和8年) 935
- 10) Freundlich, Z. Physik. Chem., 44 (1903) 152
- 11) Freundlich und Schucht, Z. Physik. Chem., 33(1913) 641.
- 12) 河村信一, 東京帝國大學理學部紀要 25 (1908) Art 8.
宮澤清三郎, 東京化學會誌 33(大正元年) 217.
石坂伸吉, Z. Physik. Chem., 83 1913) 97.
Gann, Kolloid. Beihefte, 8 (1916), 125
- 13) 稲葉見敷氏, 理化學研究所歐文報告, 15 (1931), 277
- 14) 松野吉松氏, 東京化學會誌, 39(1926), 908
東京帝國大學理學部紀要, 41 (1921), Art I.
- 15) 宮澤清三郎, 東京化學會誌, 33(1926), 773
石坂伸吉氏, Z. Physik. Chem., 83 (1913), 97
- 16) RA. Ruehrwein and D. W. Ward, Soil. Sci., 73, 483 (1952), A. S. Michaels, Ind. Eng. Chem. 46, 1485 (1954); A. S. Michaels and D. Moreles, Ind. Eng. Chem. 47, 180 (1955).
- 17) 野田, 特許公告, 昭和33-5270; 日業工業用水協會誌 No. 33, 27 (1961)
- 18) E. J. W. Verwey, J. Th. G. Overbeek.
"Theory of the Stability of Lypophobic Colloids" (1948)
- 19) L. W. Needham, Trans. Inst. Min. Eng., 92 28 (1936).
- 20) 井口, Bull. Chem. Soc. Japan, 24, 78 (1951)
- 21) C. A. 1038, 47 (1953)
Yoichi Shiraki (Tokyo Inst. Technol)
J. Ceram. Assoc. Japan, 60 471~4755 (1952)
- 22) C. A. 12196, 50, 1936
Tadashi Oyama and Slimn Osuke us ui (Tohoku Univ Sendai)
J. Mining Inst. Japan, 71, 445~20 (1855)
- 23) 野田, 日化誌, 82, I161 (1961)
- 24) 成均館大學教授論文集 第8輯 p. 357 (1963)
- 25) B. Jir. Gerson, H. E. Straumanis A short Text book of colloid chem. p. 129 (1954)
- 26) (23)과 같음.
- 27) 成均館大學教授論文集 7號 243 (1962)
- 28), (29) : (25)와同一
- 30) Zeitschr. F. Anorg. Chem. 240, 193, 209~246 (1939)
- 31) (30)과同一
- 32) J. R. Bayl is: J. A. W. W. A. 29, 335 (1937) water,
W. Sew. 85, 855 (1938)
- 33) J. G. Vail Soluble Silicates II 524 (1952) R. C. Merrill:

- I. E. C. 30, 1355 (1948)
- 34) C. E. Imhoff, L. A. Burkhard, X-ray.
- 35) F. G. Straub: Steam turbine blade deposits Comb. 16, 43 (1945)
Trans Am Soc. Mech. Engrs. 67, 309 (1945)
- 36) B. S. Behrman, H. Gustafson, Ind. Eng. Chem. 32, 468 (1940)
- 37) L. D. Betz, C. A. Noll, J. J. Maguire: Ind. Eng. Chem. 32, 1320 (1940)
- 38) F. K. Lindsay, J. W. Ryzner: Ind Eng. Chem., 31, 859 (1939)
- 39) (25)의 p. 332
- 40) (25)의 p. 342
- 41) (1)과同一
- 42) 成均館大學校論文集, 第9輯, p. 323 (1964)
- 43) Handbook of Chemistry Eight edition Lange p. 214
- 44) Bol. Inst. agron 13, 287—95 (354)
Ann. Oregon (57156, 1958) 8, 175—92(1957)
- 45) J. R. Baylis, J. A. W. W. A. 29, 335 (1937)
- 46) (25)의 p. 20
- 47) (41)과同一
- 48) (42)의 p. 328
- 49) (24)의 p. 364, (42)의 p. 328
- 50) A. V. Graf, U.S.P. 2234,285 (1941)
C. L. Baker, U.S.P. 2310009 (1943)
H. R. Hay, U.S.P. 2567285 (1951)
- 51) 緒方章, 近藤龍 化學實驗操作法 p. 287 (1955)
- 52) 1296, 82—10 (1961) 日本化學雜誌, 鹿園, 佐佐木, 前田東工試 52, 149, 1957, p. 1295, 82—10, 日本化學雜誌
- 53) Yoe, J. H. and Kleinmann, H., "Photometric Chemical Analysis", Vol. I (Nephelometry), John Wiley & Sons, Inc, New York, 1929
- 54) J. Phys. Chem: Mar 301 (1953)
- 55) Gemant, J. Phys. Chem. 56, 238 (952)
- 56) McGee: J. A. C. S. 71, 278 (1949)
- 57) Magnee: Bull soc Blego geoll 61, 165—75(1952)
- 58) (24)와同一
- 59) (42)와同一
- 60) R. Spychalsky, Kolloid-Zeitschr. 38, 317—20 (1938)
- 61) Hermann Mayer: Bas wassen-glass, p. 57 (1958)
- 62) H. Staudinger und R. Signer, Liebigs Ann. 474, 271—275 (1929)
- 63) R. Signer und H. Gross, Liebigs Ann. 488, 56—73(1931)
E. Konrad, O. Bäche und R. Signer, 同誌 478, 276—295 (1929)
- 64) F. Matossi, Zeitschr. F. Phys. 108 295 (1938)
- 65) Lesley, Trans. Faraday, Soc. 25 (1929), 570.
Neil S. Gordon, Colloid Symposium Monograph, New York 1924 S. 119.
- Hazel, J. Phys. Chem. 42, 499 (1938)
- 66) 大藏, 後藤, 小松, 北大工研報 17號(1957)
- 67) (25)의 p. 150
- 68) 19와 같음
- 69) (20)과 동일
- 70) 立化細胞化學 Symposium 3..27(1954)
- 71) M. F. McCarty and R. S. Olson, Min Eng. 11, 61 (1959)